

libgrecp

библиотека подпрограмм для вычисления интегралов
от оператора обобщенного релятивистского псевдопотенциала
на гауссовых функциях

А. В. Олейниченко
А. В. Зайцевский

oleynichenko_av@pnpi.nrcki.ru
http://qchem.pnpi.spb.ru

23 декабря 2021 г.

Литература: GRECP

generalized relativistic effective core potential

- ▶ N. S. Mosyagin, A. V. Titov, Z. Latajka, *IJQC* 63, 1107 (1997)
Generalized relativistic effective core potential: Gaussian expansions of potentials
and pseudospinors for atoms Hg through Rn
- ▶ A. V. Titov, N. S. Mosyagin, *IJQC* 71, 359 (1999)
Generalized relativistic effective core potential: Theoretical grounds
- ▶ <http://www.qchem.pnpi.spb.ru/recp>
библиотека псевдопотенциалов

Литература: вычисление интегралов

- ▶ L. E. McMurchie, E. R. Davidson, *J. Comp. Phys.* 44, 289 (1981)
Calculation of integrals over *ab initio* pseudopotentials
- ▶ R. M. Pitzer, N. W. Winter, *IJQC* 40, 773 (1991)
Spin-orbit (core) and core potential integrals
- ▶ C.-K. Skylaris *et al*, *CPL* 296, 445 (1998)
An efficient method for calculating effective core potential integrals which involve projection operators
- ▶ R. Flores-Moreno *et al*, *J. Comp. Chem.* 27, 1009 (2006)
Half-numerical evaluation of pseudopotential integrals
- ▶ R. A. Shaw, J. G. Hill, *JCP* 147, 074108 (2017)
Prescreening and efficiency in the evaluation of integrals over *ab initio* effective core potentials
- ▶ R. A. Shaw, J. G. Hill, *J. Open Source Softw.*, 6(60), 3039 (2021)
libcpint: A C++ library for the efficient evaluation of integrals over effective core potentials

Пример: атом урана

Рассмотрим 64e-псевдопотенциал малого остова для атома U:

- внешний остов: $6sp$, $5spd$, $4spdf$
- валентные оболочки: $7sp$, $6d$, $5f$

Энергии перехода, см ⁻¹	DFB	Абсолютные погрешности, см ⁻¹			
$5f^3 6d^1 7s^2 \rightarrow$		no Breit	GRECP	Val.	RECP
$5f^3 7s^2 7p^1$	7516	-93	-1	-6	
$5f^3 6d^2 7s^1$	13124	78	2	1	
$5f^3 6d^1 7s^1 7p^1$	17200	14	1	-9	
$5f^2 6d^2 7s^2$	4640	-779	53	551	
$5f^2 6d^2 7s^1 7p^1$	23856	-764	54	543	
$5f^4 7s^2$	15780	627	-45	-404	
$5f^4 6d^1 7s^1$	30790	670	-42	-386	
$5f^1 6d^3 7s^2$	31450	-1673	112	1231	
$5f^1 6d^4 7s^1$	38781	-1550	115	1209	

Некоторые существующие реализации

		scalar	spin-orbit	outercore	open source	written in
ARGOS	1981	+	+	-	+	Fortran
MOLGEП	1991	+	+	+	-	Fortran
Turbomole	2005	+	+	-	-	Fortran
libECP	2015	+	-	-	+	C
libecpint	2021	+	-	-	+	C++
libgrecp	2021	+	+	+	+	C

- ▶ libgrecp написана с нуля на языке C99
- ▶ тестирование: DIRAC, MOLGEП
- ▶ ориентирована на использование с методами связанных кластеров
- ▶ нет ограничений на максимальный угловой момент ECP и базиса

Обобщенный релятивистский псевдопотенциал (GRECP)

$$\begin{aligned}\hat{U} = & U_{LJ}(r) \\ & + \sum_{lj} [U_{lj}(r) - U_{LJ}(r)] P_{lj} \\ & + \sum_{n_c} \sum_{lj} \{ \tilde{P}_{n_c lj} [U_{n_c lj}(r) - U_{lj}(r)] + [U_{n_c lj}(r) - U_{lj}(r)] \tilde{P}_{n_c lj} \} \\ & + \sum_{n_c n'_c} \sum_{lj} P_{n_c lj} \left[\frac{U_{n_c lj}(r) + U_{n'_c lj}(r)}{2} - U_{lj}(r) \right] P_{n'_c lj}\end{aligned}$$

- ▶ $P_l = \sum_m |lm\rangle \langle lm|$
- ▶ $P_{lj} = \sum_m |ljm\rangle \langle ljm|$
- ▶ $\tilde{P}_{n_c lj} = \sum_m |n_c ljm\rangle \langle n_c ljm|$
 - проекторы на внешнеостовные псевдоспиноры («невыброшенные»)
 - зависят от r

Обобщенный релятивистский псевдопотенциал (GRECP)

$$\hat{U} = U_L(r) + \sum_{l=0}^{L-1} [U_l(r) - U_L(r)] P_l + \sum_{l=1}^L \frac{2}{2l+1} U_l^{SO}(r) P_l \ell s \\ + \sum_{n_c} \sum_{l=0}^{L-1} \hat{U}_{n_c l}^{AREP} P_l + \sum_{n_c} \sum_{l=1}^L \frac{2}{2l+1} \hat{U}_{n_c l}^{SO} P_l \ell s$$

$$\hat{U}_{n_c l}^{AREP} = \frac{l+1}{2l+1} \hat{V}_{n_c, l+} + \frac{l}{2l+1} \hat{V}_{n_c, l-} \\ \hat{U}_{n_c l}^{SO} = \frac{2}{2l+1} [\hat{V}_{n_c, l+} - \hat{V}_{n_c, l-}]$$

$$\hat{V}_{n_c l j} = (U_{n_c l j} - U_{l j}) \tilde{P}_{n_c l j} + \tilde{P}_{n_c l j} (U_{n_c l j} - U_{l j}) - \sum_{n'_c} \tilde{P}_{n_c' l j} \left[\frac{U_{n_c l j} + U_{n'_c l j}}{2} - U_{l j} \right] \tilde{P}_{n'_c l j}$$

Обобщенный релятивистский псевдопотенциал (GRECP)

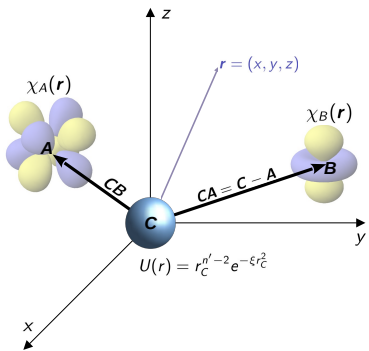
		2S1/2
6	1	
453.	8239473297523	0.1534079305324878E-002
81.	78392245467846	0.1547338287858494E-001
21.	01756207682070	0.165304271459425
4.	202187689530340	-0.4291694837841568
1.	832146025189554	-0.5564264215384425
0.	7999057373996928	-0.1421685415780728
9	2	2P1/2
477.	3315470425202	0.2113334997386953E-002
122.	3174655681572	0.1313815837665885E-001
42.	97638073927648	0.5162336374579296E-001
17.	598381445606293	0.1418791938851203
7.	853460360176514	0.2692253991716999
3.	659295865768477	0.3514829463498897
1.	7509062647135136	0.28560342949056517
0.	8310003070152262	0.1013370041109672
0.	3160304480358770	0.6896179598715287E-002
0.		0.7081729074463639E-002

|ncj>
outercore
pseudospinors

		3S - AREP	2S1/2	2P3/2
12	1			
0	393. 3602177650254	1.000000000000000	0.000000000000000	0.000000000000000
1	113.7058271536836	20. 61434228311451	0.000000000000000	0.000000000000000
1	16.10913256549514	43. 26766325656665	0.000000000000000	0.000000000000000
1	11.74489514767160	-26. 00564860791052	0.000000000000000	0.000000000000000
0.	0.7384624094949389	-1. 76769697661951	0.000000000000000	0.000000000000000
2	7.435595881368535	12. 81879139695621	0.000000000000000	0.000000000000000
2	1.704016034278843	1. 724789989169324	0.000000000000000	0.000000000000000
2	0.8264571426674918	1. 177798154185780	0.000000000000000	0.000000000000000
1	5.137451248761753	0.	0.000000000000000	0.000000000000000
1	3.653988234036431	0.	0.000000000000000	0.000000000000000
2	6.495922514683066	0.	0.000000000000000	0.000000000000000
2	2.407546171026337	0.	0.000000000000000	0.000000000000000
13	2	3P - AREP	2S1/2	2P3/2
1	6117.592663549806	0.4205888832476154	0.4795688722317522	0.000000000000000
1	783.9977605773247	0.8288329737421520	1.000775982167485	0.000000000000000
1	203.4274692639591	0.6692270967733691	0.9407954603364033E-001	0.000000000000000
1	66.11279538566970	0.575355881882215	0.2999003218434382E-001	0.000000000000000
1	3.7755077506937060	0.8202119815478000	0.571114762129910E-001	0.000000000000000
1	2.117535857537166	-1. 062330176459113	0.797155991688458E-001	0.000000000000000
2	2.338276864774692	1. 118051706876372	0.8489534538739463E-001	0.000000000000000
2	0.7630253652236829	0.4855751106136452E-003	0.1467293262304992E-003	0.000000000000000
2	0.934539766919543E-001	0.424061269722687E-004	0.2770340191290965E-005	0.000000000000000
2	6.59202053042957	0.	0.	0.000000000000000
2	4.600761784919925	0.	0.	0.3430416383246921
2	3.063252871982663	0.	0.	0.5161737283857235
2	1.807398538859029	0.	0.	0.2219749178958450
0.		$U_L(r)$	$U_{nc,l}(r)$	0.2233588248259811
0.		$U_L^{SO}(r)$		0.1198529114654701E-001
0.				-0.1290741233566232E-001

Полулокальная часть. Постановка задачи

$$\hat{U} = U_L(r) + \sum_{l=0}^{L-1} [U_l(r) - U_L(r)] P_l + \sum_{l=1}^L \frac{2}{2l+1} U_l^{SO}(r) P_l \hat{\ell} s$$



$$\chi_A(\mathbf{r}) = N_A x_A^{n_A} y_A^{l_A} z_A^{m_A} e^{-\alpha_A |\mathbf{r} - \mathbf{A}|^2}$$

$$\chi_B(\mathbf{r}) = N_B x_B^{n_B} y_B^{l_B} z_B^{m_B} e^{-\alpha_B |\mathbf{r} - \mathbf{B}|^2}$$

$$x_A = x - A_x$$

Задача сводится к вычислению матричных элементов трех типов:

- ▶ $\langle \chi_A | U(r_C) | \chi_B \rangle$
- ▶ $\langle \chi_A | U(r_C) P_l | \chi_B \rangle$
- ▶ $\langle \chi_A | U(r_C) P_l \hat{\ell} P_l | \chi_B \rangle$

Схема МакМёрчи-Дэвидсона

На примере интегралов 1 типа $\langle \chi_A | U(r) | \chi_B \rangle$

$$U_{AB} = \int \chi_A(\mathbf{r}) r_C^{n'-2} e^{-\xi r_C^2} \chi_B(\mathbf{r}) d\mathbf{r}_C$$

Идея: выполним переразложение функций χ_A и χ_B на центре \mathbf{C} :

$$\mathbf{r}_A = \mathbf{r}_C + \mathbf{CA}$$

$$e^{-\alpha_A r_A^2} = e^{-\alpha_A r_C^2} e^{-2\alpha_A \cdot \mathbf{r}_C \cdot \mathbf{CA}} e^{-\alpha_A |\mathbf{CA}|^2}$$

(аналогично для χ_B). Подставляем в интеграл:

$$U_{AB} = \frac{D_{ABC}}{4\pi} \int x_A^{n_A} y_A^{l_A} z_A^{m_A} x_B^{n_B} y_B^{l_B} z_B^{m_B} r_C^{n'-2} e^{-\alpha r_C^2} e^{\mathbf{k} \cdot \mathbf{r}_C} d\mathbf{r}_C$$

$$\alpha = \alpha_A + \alpha_B + \xi$$

$$\mathbf{k} = -2(\alpha_A \mathbf{CA} + \alpha_B \mathbf{CB})$$

$$D_{ABC} = N_A N_B e^{-\alpha_A |\mathbf{CA}|^2 - \alpha_B |\mathbf{CB}|^2}$$

Схема МакМёрчи-Дэвидсона

На примере интегралов 1 типа $\langle \chi_A | U(r) | \chi_B \rangle$

$$U_{AB} = \frac{D_{ABC}}{4\pi} \int x_A^{n_A} y_A^{l_A} z_A^{m_A} x_B^{n_B} y_B^{l_B} z_B^{m_B} r_C^{n'-2} e^{-\alpha r_C^2} e^{\mathbf{k} \cdot \mathbf{r}_C} d\mathbf{r}_C$$

Подставим тождества $x_A = x_C + CA_x$ и используем формулу бинома:

$$\begin{aligned} U_{AB} &= \frac{D_{ABC}}{4\pi} \sum_{a=0}^{n_A} \sum_{b=0}^{l_A} \sum_{c=0}^{m_A} \sum_{d=0}^{n_B} \sum_{e=0}^{l_B} \sum_{f=0}^{m_B} \binom{n_A}{a} \binom{l_A}{b} \binom{m_A}{c} \binom{n_B}{d} \binom{l_B}{e} \binom{m_B}{f} \times \\ &\quad \times CA_x^{n_A-a} CA_y^{l_A-b} CA_z^{m_A-c} CB_x^{n_B-d} CB_y^{l_B-e} CB_z^{m_B-f} \times \\ &\quad \times \int x_C^{a+d} y_C^{b+e} z_C^{c+f} r_C^{n'-2} e^{-\alpha r_C^2} e^{\mathbf{k} \cdot \mathbf{r}_C} d\mathbf{r}_C \end{aligned}$$

Схема МакМёрчи-Дэвидсона

На примере интегралов 1 типа $\langle \chi_A | U(r) | \chi_B \rangle$

$$\int x_C^{a+d} y_C^{b+e} z_C^{c+f} r_C^{n'-2} e^{-\alpha r_C^2} e^{\mathbf{k} \cdot \mathbf{r}_C} d\mathbf{r}_C$$

Используем формулу для разложения плоской волны:

$$e^{\mathbf{k} \cdot \mathbf{r}_C} = 4\pi \sum_{\lambda=0}^{\infty} \sum_{\mu=-\lambda}^{+\lambda} M_{\lambda}(k r_C) S_{\lambda\mu}(\hat{k}) S_{\lambda\mu}(\hat{r}_C)$$

$M_{\lambda}(x)$ – модифицированные функции Бесселя первого рода

$S_{\lambda\mu}$ – действительные сферические гармоники

$k = k/|k|$, $\hat{r}_C = \mathbf{r}_C/|\mathbf{r}_C|$ – угловые переменные для векторов k и r_C , соответственно

Используем формулы $x_C = r_C \hat{x}_C$ (+ аналогичные для других компонент):

$$4\pi \sum_{\lambda=0}^{\infty} \underbrace{\int r_C^{a+b+c+d+e+f+n'} e^{-\alpha r_C^2} M_{\lambda}(k r_C) dr_C}_{=Q_{\lambda}^N \text{ – радиальный интеграл}} \underbrace{\sum_{\mu=-\lambda}^{+\lambda} \hat{x}_C^{a+b} \hat{y}_C^{b+e} \hat{z}_C^{c+f} S_{\lambda\mu}(\hat{k}) S_{\lambda\mu}(\hat{r}_C) d\hat{r}_C}_{=\Omega_{\lambda}^{a+d,b+e,c+f} \text{ – угловой интеграл}}$$

Схема МакМёрчи-Дэвидсона

На примере интегралов 1 типа $\langle \chi_A | U(r) | \chi_B \rangle$

$$U_{AB} = D_{ABC} \sum_{a=0}^{n_A} \sum_{b=0}^{l_A} \sum_{c=0}^{m_A} \sum_{d=0}^{n_B} \sum_{e=0}^{l_B} \sum_{f=0}^{m_B} \binom{n_A}{a} \binom{l_A}{b} \binom{m_A}{c} \binom{n_B}{d} \binom{l_B}{e} \binom{m_B}{f} \times \\ \times CA_x^{n_A-a} CA_y^{l_A-b} CA_z^{m_A-c} CB_x^{n_B-d} CB_y^{l_B-e} CB_z^{m_B-f} \times \\ \times \sum_{\lambda=0}^{\infty} Q_{\lambda}^{a+b+c+d+e+f+n'}(k, \alpha) \Omega_{\lambda}^{a+d, b+e, c+f}(\hat{k})$$

Радиальные интегралы 1 типа:

$$Q_{\lambda}^N(k, \alpha) = \int_0^{+\infty} r^N e^{-\alpha r^2} M_{\lambda}(kr) dr$$

$$k = -2(\alpha_A CA + \alpha_B CB)$$

$$\alpha = \alpha_A + \alpha_B + \xi$$

Угловые интегралы 1 типа:

$$\Omega_{\lambda}^{IJK}(\hat{k}) = \sum_{\mu=-\lambda}^{+\lambda} S_{\lambda\mu}(\hat{k}) \int \hat{x}^I \hat{y}^J \hat{z}^K S_{\lambda\mu}(\hat{r}) d\hat{r}$$

Схема МакМёрчи-Дэвидсона

Интегралы 2 типа $\langle \chi_A | U(r) P_I | \chi_B \rangle$

$$\begin{aligned} U_{AB}^I &= \int \chi_A(\mathbf{r}) r_C^{n'-2} e^{-\xi r_C^2} \sum_m |S_{lm}\rangle \langle S_{lm}| \chi_B(\mathbf{r}) d\mathbf{r}_C = \\ &= 4\pi D_{ABC} \sum_{a=0}^{n_A} \sum_{b=0}^{l_A} \sum_{c=0}^{m_A} \sum_{d=0}^{n_B} \sum_{e=0}^{l_B} \sum_{f=0}^{m_B} \binom{n_A}{a} \binom{l_A}{b} \binom{m_A}{c} \binom{n_B}{d} \binom{l_B}{e} \binom{m_B}{f} \times \\ &\quad \times C A_x^{n_A-a} C A_y^{l_A-b} C A_z^{m_A-c} C B_x^{n_B-d} C B_y^{l_B-e} C B_z^{m_B-f} \times \\ &\quad \times \sum_{\lambda=0}^{\infty} \sum_{\bar{\lambda}=0}^{\infty} Q_{\lambda\bar{\lambda}}^{a+b+c+d+e+f+n'}(k_A, k_B, \alpha) \sum_{m=-l}^{+l} \Omega_{\lambda lm}^{abc}(\hat{k}) \Omega_{\bar{\lambda} lm}^{def}(\hat{k}) \end{aligned}$$

Радиальные интегралы 2 типа:

$$Q_{\lambda\bar{\lambda}}^N(k_A, k_B, \alpha) = \int_0^{+\infty} r^N e^{-\alpha r^2} M_\lambda(k_A r) M_{\bar{\lambda}}(k_B r) dr$$

Угловые интегралы 2 типа:

$$\Omega_{\lambda lm}^{abc}(\hat{k}) = \sum_{\mu=-\lambda}^{+\lambda} S_{\lambda\mu}(\hat{k}) \int \hat{x}^a \hat{y}^b \hat{z}^c S_{\lambda\mu}(\hat{r}) S_{lm}(\hat{r}) d\hat{r}$$

Схема МакМёрчи-Дэвидсона

Интегралы 3 типа (спин-орбита): $\langle \chi_A | U(r) P_I \ell P_I | \chi_B \rangle$

$$\begin{aligned} SO_{AB}^I &= i^{-1} \int \chi_A(\mathbf{r}) r_C^{n'-2} e^{-\xi r_C^2} \left(\sum_m |S_{lm}\rangle \langle S_{lm}| \right) \ell \left(\sum_m |S_{lm}\rangle \langle S_{lm}| \right) \chi_B(\mathbf{r}) d\mathbf{r}_C = \\ &= 4\pi D_{ABC} \sum_{a=0}^{n_A} \sum_{b=0}^{l_A} \sum_{c=0}^{m_A} \sum_{d=0}^{n_B} \sum_{e=0}^{l_B} \sum_{f=0}^{m_B} \binom{n_A}{a} \binom{l_A}{b} \binom{m_A}{c} \binom{n_B}{d} \binom{l_B}{e} \binom{m_B}{f} \times \\ &\quad \times CA_x^{n_A-a} CA_y^{l_A-b} CA_z^{m_A-c} CB_x^{n_B-d} CB_y^{l_B-e} CB_z^{m_B-f} \times \\ &\quad \times \sum_{\lambda=0}^{\infty} \sum_{\bar{\lambda}=0}^{\infty} Q_{\lambda\bar{\lambda}}^{a+b+c+d+e+f+n'}(k_A, k_B, \alpha) \sum_{m=-l}^{+l} \sum_{m'=-l}^{+l} \Omega_{\lambda lm}^{abc}(\hat{k}) \Omega_{\bar{\lambda} lm'}^{def}(\hat{k}) \langle S_{lm} | \ell | S_{lm'} \rangle \end{aligned}$$

- ▶ радиальные интегралы 2 типа
- ▶ угловые интегралы 2 типа
- ▶ интегралы от оператора углового момента ℓ в базисе S_{lm}

Вычисление угловых интегралов

Интегралы 1 типа:

$$\Omega_{\lambda}^{IJK}(\hat{k}) = \sum_{\mu=-\lambda}^{+\lambda} S_{\lambda\mu}(\hat{k}) \sum_{rst}^{\lambda} y_{rst}^{\lambda\mu} \int \hat{x}^{I+r} \hat{y}^{J+s} \hat{z}^{K+t} d\hat{r}$$

Интегралы 2 типа:

$$\Omega_{\lambda lm}^{abc}(\hat{k}) = \sum_{\mu=-\lambda}^{+\lambda} S_{\lambda\mu}(\hat{k}) \sum_{rst}^{\lambda} \sum_{uvw}^l y_{rst}^{\lambda\mu} y_{uvw}^{lm} \int \hat{x}^{a+r+u} \hat{y}^{b+s+v} \hat{z}^{c+t+w} d\hat{r}$$

Значение сферической гармоники $S_{\lambda\mu}$ в точке \hat{k} :

$$S_{\lambda\mu}(\hat{k}) = \sum_{rst}^{\lambda} y_{rst}^{\lambda\mu} \hat{k}_x^r \hat{k}_y^s \hat{k}_z^t$$

Интегралы от одночленов:

$$\int \hat{x}^i \hat{y}^j \hat{z}^k d\hat{r} = \begin{cases} 4\pi \frac{(i-1)!! (j-1)!! (k-1)!!}{(i+j+k+1)!!} & \text{если } i, j, k \text{ четные числа} \\ 0 & \text{в остальных случаях} \end{cases}$$

Вычисление угловых интегралов

Коэффициенты y_{rst}^{lm} вычисляются по формуле:

$$y_{rst}^{lm} = \sqrt{\frac{2l+1}{2\pi}} \frac{(l-|m|)!}{(l+|m|)!} \frac{1}{2^l l!} \sum_{i=j}^{(l-|m|)/2} \binom{l}{i} \binom{i}{j} \frac{(-1)^i (2l-2i)!}{(l-|m|-2i)!} \times \\ \times \sum_{k=0}^j \binom{j}{k} \binom{|m|}{r-2k} (-1)^{(|m|-r+2k)/2} \times \\ \times \begin{cases} 1 & m > 0 \text{ и } |m| - r \text{ четное} \\ 1/\sqrt{2} & m = 0 \text{ и } r \text{ четное} \\ 1 & m < 0 \text{ и } |m| - r \text{ нечетное} \\ 0 & \text{в остальных случаях} \end{cases}$$

$$j = (r + s - |m|)/2$$

в libgrecp y_{rst}^{lm} вычисляются только один раз и хранятся в виде таблиц

Вычисление радиальных интегралов

Радиальные интегралы 1 типа:

$$Q_{\lambda}^N(k, \alpha) = \int_0^{+\infty} r^N e^{-\alpha r^2} M_{\lambda}(kr) dr$$

Радиальные интегралы 2 типа:

$$Q_{\lambda\bar{\lambda}}^N(k_A, k_B, \alpha) = \int_0^{+\infty} r^N e^{-\alpha r^2} M_{\lambda}(k_A r) M_{\bar{\lambda}}(k_B r) dr$$

$M_{\lambda}(x)$ – сферические модифицированные функции Бесселя

$$\alpha = \alpha_A + \alpha_B + \xi$$

$$k_A = 2\alpha_A |\mathbf{CA}|$$

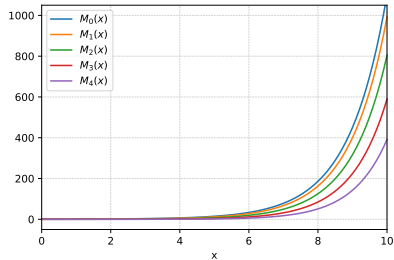
$$k_B = 2\alpha_B |\mathbf{CB}|$$

$$k = 2|\alpha_A \mathbf{CA} - 2\alpha_B \mathbf{CB}|$$

Вычисление радиальных интегралов

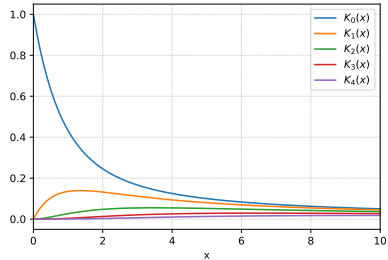
modified spherical Bessel function

$$M_n(x) = \sqrt{\pi/(2x)} I_{n+1/2}(x)$$



modified spherical scaled Bessel function

$$K_n(x) = e^{-x} M_n(x)$$

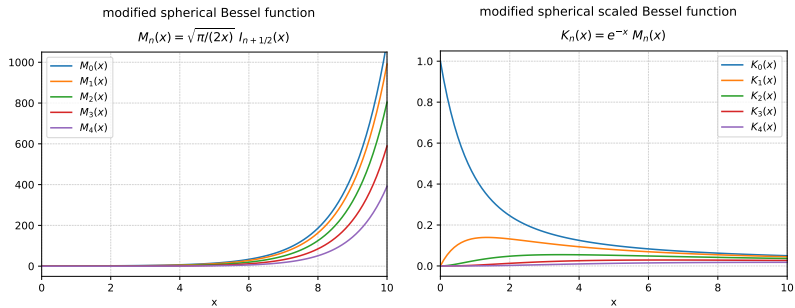


$$Q_\lambda^N(k, r) = \int_0^{+\infty} r^N e^{-\alpha r^2} M_\lambda(kr) dr$$

$$Q_\lambda^N(k, r) = \int_0^{+\infty} r^N e^{-\alpha r^2} e^{kr} \underbrace{e^{-kr} M_\lambda(kr)}_{K_\lambda(kr)} dr$$

$$e^{-\alpha_A |CA|^2} e^{-\alpha_B |CB|^2} Q_\lambda^N(k, r) = \int_0^{+\infty} r^N \underbrace{e^{-\alpha_A |CA|^2 - \alpha_B |CB|^2 - \alpha r^2 + kr}}_{\rightarrow 0} \underbrace{K_\lambda(kr)}_{\rightarrow 0} dr$$

Вычисление радиальных интегралов



Аналогично для радиальных интегралов 2 типа:

$$Q_{\lambda\bar{\lambda}}^N(k_A, k_B, r) = \int_0^{+\infty} r^N e^{-\alpha r^2} M_\lambda(k_A r) M_{\bar{\lambda}}(k_B r) dr$$

$$Q_{\lambda\bar{\lambda}}^N(k_A, k_B, r) = \int_0^{+\infty} r^N e^{-\alpha r^2} e^{k_A r} K_\lambda(k_A r) e^{k_B r} K_{\bar{\lambda}}(k_B r) dr$$

$$\int_0^{+\infty} r^N e^{-\alpha_A |CA|^2 - \alpha_A r^2 + k_A r} e^{-\alpha_B |CB|^2 - \alpha_B r^2 + k_B r} K_\lambda(k_A r) K_{\bar{\lambda}}(k_B r) dr$$

Квадратурная формула Log3

Требуется вычислить интеграл

$$I = \int_0^{+\infty} f(r) r^2 dr$$

Сетка из n_r узлов:

$$x_i = \frac{i}{n_r + 1}, \quad x_i \in (0, 1)$$

$$r_i = -\alpha \ln(1 - x_i^3), \quad r_i \in (0, +\infty)$$

$$w_i = \frac{3\alpha^3 x_i^2 \ln^2(1 - x_i^3)}{(1 - x_i^3)(n_r + 1)}$$

$$I \approx \sum_i^{n_r} w_i f(r_i)$$

При расширении сетки до $n_r^{(2)} = n_r^{(1)} + 1$ узлов требуется пересчитывать веса и значения $f(r)$ только в каждой второй точке:

$$I^{(2)} \approx \frac{I^{(1)}}{2} + \sum_{i=1,3,5,\dots}^{n_r^{(2)}} w_i f(r_i)$$

Интеграл может быть вычислен с любой наперед заданной точностью!

Сжатые ECP и базисные функции

В реальных расчетах используются разложения операторов $U(r)$:

$$U(r) = \sum_i d_i r^{n_i - 2} e^{-\xi_i r^2}$$

Сжатые гауссовые функции:

$$\chi_A(\mathbf{r}) = \sum_i c_i N_i x_A^n y_A^l z_A^m e^{-\alpha_i |\mathbf{r} - \mathbf{A}|^2} \quad L_A = n + l + m$$

Переписываем радиальные интегралы для сжатых $U(r)$ и $\chi_A(\mathbf{r})$:

$$Q_{\lambda\bar{\lambda}}^N \rightarrow T_{\lambda\bar{\lambda}}^{N'} = \int_0^{+\infty} r^{N'+2} U(r) F_A^\lambda(r) F_B^{\bar{\lambda}}(r) dr$$

$$N' = 0, \dots, L_A + L_B$$

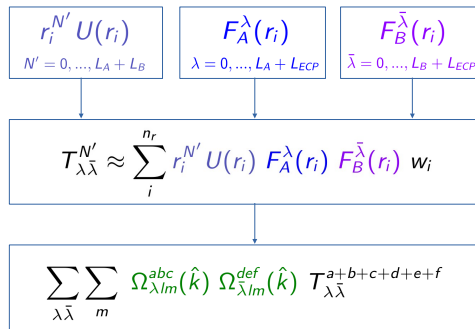
$$F_A^\lambda(r) = \sum_i c_i N_i e^{-\alpha_A |\mathbf{C}\mathbf{A}|^2 - k_{A,i} r^2} M_\lambda(k_{A,i} r)$$

- ▶ угловые интегралы одинаковы для всех гауссовых примитивов!
- ▶ в случае интегралов первого типа Q_λ^N не дает преимуществ

Сжатые ECP и базисные функции

Алгоритм вычисления радиальных интегралов

$$T_{\lambda\bar{\lambda}}^{N'} = \int_0^{+\infty} r^{N'} U(r) F_A^\lambda(r) F_B^{\bar{\lambda}}(r) r^2 dr$$



Интегралы с проекторами на псевдоспиноры (GRECP)

Требуется вычислить интегралы:

$$\langle \chi_A | \hat{U}_{n_c l}^{AREP} P_l | \chi_B \rangle \quad \langle \chi_A | \hat{U}_{n_c l}^{SO} P_l \ell P_l | \chi_B \rangle$$

После подстановки выражений

$$\begin{aligned}\hat{U}_{n_c l}^{AREP} &= \frac{l+1}{2l+1} \hat{\mathcal{V}}_{n_c, l+} + \frac{l}{2l+1} \hat{\mathcal{V}}_{n_c, l-} \\ \hat{U}_{n_c l}^{SO} &= \frac{2}{2l+1} \left[\hat{\mathcal{V}}_{n_c, l+} - \hat{\mathcal{V}}_{n_c, l-} \right]\end{aligned}$$

задача сводится к вычислению интегралов:

$$\langle \chi_A | \hat{\mathcal{V}}_{n_c l j} P_l | \chi_B \rangle \quad \langle \chi_A | \hat{\mathcal{V}}_{n_c l j} P_l \ell P_l | \chi_B \rangle$$

$$\hat{\mathcal{V}}_{n_c l j} = (U_{n_c l j} - U_{l j}) \tilde{P}_{n_c l j} + \tilde{P}_{n_c l j} (U_{n_c l j} - U_{l j}) - \sum_{n'_c} \tilde{P}_{n_c l j} \left[\frac{U_{n_c l j} + U_{n'_c l j}}{2} - U_{l j} \right] \tilde{P}_{n'_c l j}$$

Интегралы с проекторами на псевдоспиноры (GRECP)

Скалярно-релятивистская часть $\langle \chi_A | \hat{V}_{n_c l j} P_I | \chi_B \rangle$

$$|n_c l jm\rangle = R_{n_c l j}(r) S_{lm}(\hat{r}) \rightarrow \tilde{P}_{n_c l j} = \sum_m |n_c l jm\rangle \langle n_c l jm|$$

$$1. \langle \chi_A | [U_{n_c l j} - U_{l j}] \tilde{P}_{n_c l j} P_I | \chi_B \rangle = \sum_m \underbrace{\langle \chi_A | [U_{n_c l j} - U_{l j}] P_I | n_c l jm \rangle}_{\text{интеграл 2 типа}} \langle n_c l jm | \chi_B \rangle$$

$$2. \langle \chi_A | \tilde{P}_{n_c l j} [U_{n_c l j} - U_{l j}] P_I | \chi_B \rangle = \sum_m \underbrace{\langle \chi_A | n_c l jm \rangle}_{\text{интеграл 2 типа}} \underbrace{\langle n_c l jm | [U_{n_c l j} - U_{l j}] P_I | \chi_B \rangle}_{\text{интеграл 2 типа}}$$

$$3. \langle \chi_A | \tilde{P}_{n_c l j} \left[\frac{U_{n_c l j} + U_{n'_c l j}}{2} - U_{l j} \right] \tilde{P}_{n'_c l j} P_I | \chi_B \rangle =$$
$$= \sum_m \underbrace{\langle \chi_A | n_c l jm \rangle}_{\text{радиальный интеграл}} \underbrace{\langle n_c l jm | \left[\frac{U_{n_c l j} + U_{n'_c l j}}{2} - U_{l j} \right] | n'_c l jm \rangle}_{\text{квадратура}} \langle n'_c l jm | \chi_B \rangle$$

Интегралы с проекторами на псевдоспиноры (GRECP)

Эффективное спин-орбитальное взаимодействие $\langle \chi_A | \hat{V}_{n_c l j} P_I \ell P_I | \chi_B \rangle$

$$4. \langle \chi_A | [U_{n_c l j} - U_{l j}] \tilde{P}_{n_c l j} P_I | \chi_B \rangle =$$

$$= \sum_m \underbrace{\langle \chi_A | [U_{n_c l j} - U_{l j}] P_I | n_c l j m \rangle}_{\text{интеграл 2 типа}} \sum_{m'} \langle S_{l m} | \ell | S_{l m'} \rangle \langle n_c l j m' | \chi_B \rangle$$

5.

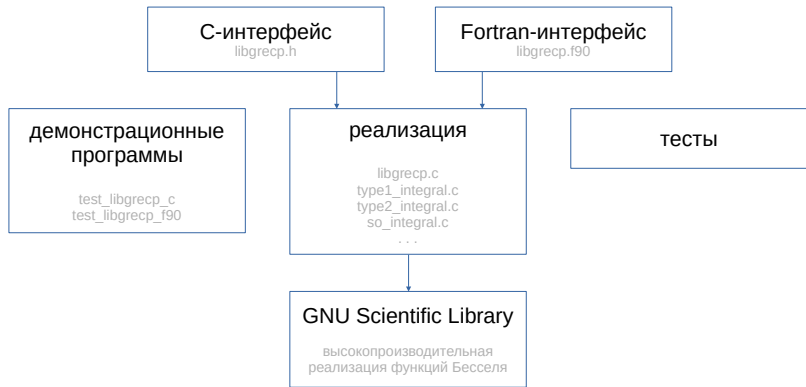
$$\langle \chi_A | \tilde{P}_{n_c l j} [U_{n_c l j} - U_{l j}] P_I | \chi_B \rangle = \sum_m \underbrace{\langle \chi_A | n_c l j m \rangle \langle n_c l j m | [U_{n_c l j} - U_{l j}] P_I \ell P_I | \chi_B \rangle}_{\text{интеграл 3 типа (SO)}}$$

$$6. \langle \chi_A | \tilde{P}_{n_c l j} \left[\frac{U_{n_c l j} + U_{n'_c l j}}{2} - U_{l j} \right] \tilde{P}_{n'_c l j} P_I | \chi_B \rangle =$$

$$= \sum_m \underbrace{\langle \chi_A | n_c l j m \rangle \langle n_c l j m | \left[\frac{U_{n_c l j} + U_{n'_c l j}}{2} - U_{l j} \right] | n'_c l j m \rangle}_{\text{радиальный интеграл} \rightarrow \text{квадратура}} \sum_{m'} \langle S_{l m} | \ell | S_{l m'} \rangle \langle n'_c l j m | \chi_B \rangle$$

Библиотека libgrecp

Общая структура



Библиотека libgrecp

Структуры данных: псевдопотенциалы

$$U_{lj}(r) = \sum_i d_i r^{n_i - 2} e^{-\xi_i r^2}$$

```
1 typedef struct {
2     int L;
3     int J;
4     int num_primitives;
5     int *powers;
6     double *coeffs;
7     double *alpha;
8 } libgrecp_ecp_t;
```

```
1 // constructor
2 libgrecp_ecp_t *libgrecp_new_ecp(
3     int L, int J, int num_primitives,
4     int *powers, double *coeffs, double *alpha
5 );
6
7 // destructor
8 void libgrecp_delete_ecp(libgrecp_ecp_t *ecp);
```

Библиотека libgrecp

Структуры данных: базисные функции (оболочки)

$$\chi_A(\mathbf{r}) = \sum_i c_i N_i x_A^n y_A^l z_A^m e^{-\alpha_i |\mathbf{r} - \mathbf{A}|^2}$$

```
1 typedef struct {
2     int L;
3     int cart_size;
4     int *cart_list;
5     int num_primitives;
6     double *coeffs;
7     double *alpha;
8     double origin[3];
9 } libgrecp_shell_t;
```

```
1 // constructor
2 libgrecp_shell_t *libgrecp_new_shell(
3     double *origin, int L,
4     int num_primitives, double *coeffs, double *alpha
5 );
6
7 // destructor
8 void libgrecp_delete_shell(libgrecp_shell_t *shell);
```

Пример: d -оболочка

$\text{cart_size} = 6$

$\text{cart_list} = [\underbrace{2, 0, 0}_{d_{xx}}, \underbrace{1, 1, 0}_{d_{xy}}, \underbrace{1, 0, 1}_{d_{xz}}, \underbrace{0, 2, 0}_{d_{yy}}, \underbrace{0, 1, 1}_{d_{yz}}, \underbrace{0, 0, 2}_{d_{zz}}]$

Библиотека libgrecp

Радиально-локальные интегралы $\langle \chi_A | U(r) | \chi_B \rangle$

C:

```
1 void libgrecp_type1_integrals(
2     libgrecp_shell_t *shell_A, libgrecp_shell_t *shell_B,
3     double *ecp_origin, libgrecp_ecp_t *ecp,
4     double *matrix
5 );
```

Пример: матрица интегралов между d - и f -оболочками:

	f_{xxx}	f_{xxy}	f_{xxz}	f_{xyy}	f_{xyz}	f_{xzz}	f_{yyy}	f_{yyz}	f_{yzz}	f_{zzz}
d_{xx}	[1]	[2]	[3]	[4]	[5]	[6]	[7]	[8]	[9]	[10]
d_{xy}	[11]	[12]	[13]	[14]	[15]	[16]	[17]	[18]	[19]	[20]
d_{xz}	[21]	[22]	[23]	[24]	[25]	[26]	[27]	[28]	[29]	[30]
d_{yy}	[31]	[32]	[33]	[34]	[35]	[36]	[37]	[38]	[39]	[40]
d_{yz}	[41]	[42]	[43]	[44]	[45]	[46]	[47]	[48]	[49]	[50]
d_{zz}	[51]	[52]	[53]	[54]	[55]	[56]	[57]	[58]	[59]	[60]

Библиотека libgrecp

Радиально-локальные интегралы $\langle \chi_A | U(r) | \chi_B \rangle$

Fortran 90:

```
1 subroutine libgrecp_type1_integrals_shells(          &
2     origin_A, L_A, num_primitives_A, coeffs_A, alpha_A,   &
3     origin_B, L_B, num_primitives_B, coeffs_B, alpha_B,   &
4     ecp_origin, ecp_nprim, ecp_pow, ecp_coef, ecp_alpha, &
5     matrix                                              &
6 )
7
8 ! shell centered on A
9 integer(4) :: L_A, num_primitives_A
10 real(8)    :: origin_A(*), coeffs_A(*), alpha_A(*)
11
12 ! shell centered on B
13 integer(4) :: L_B, num_primitives_B
14 real(8)    :: origin_B(*), coeffs_B(*), alpha_B(*)
15
16 ! effective core potential expansion
17 integer(4) :: ecp_nprim, ecp_pow(*)
18 real(8)    :: ecp_origin(*), ecp_coef(*), ecp_alpha(*)
19
20 ! output
21 real(8)    :: matrix(*)
```


Библиотека libgrecp

Полулокальные интегралы от эффективного оператора SO: $\langle \chi_A | U^{SO}(r) P_I \ell P_I | \chi_B \rangle$

C:

```
1 void libgrecp_spin_orbit_integrals(
2     libgrecp_shell_t *shell_A, libgrecp_shell_t *shell_B,
3     double *ecp_origin, libgrecp_ecp_t *ecp,
4     double *so_x_matrix, double *so_y_matrix, double *so_z_matrix
5 );
```

Fortran 90:

```
1 subroutine libgrecp_spin_orbit_integrals_shells(      &
2     origin_A, L_A, num_primitives_A, coeffs_A, alpha_A, &
3     origin_B, L_B, num_primitives_B, coeffs_B, alpha_B, &
4     ecp_origin, ecp_ang_momentum, ecp_num_primitives,   &
5     ecp_powers, ecp_coeffs, ecp_alpha,                  &
6     so_x_matrix, so_y_matrix, so_z_matrix              &
7 )
```

Библиотека libgrecp

Интегралы с проекторами на внешнеостовные оболочки:

$$\langle \chi_A | \hat{U}_{n_c l}^{AREP} P_l | \chi_B \rangle \text{ и } \langle \chi_A | \hat{U}_{n_c l}^{SO} P_l \ell P_l | \chi_B \rangle$$

C:

```
1 void libgrecp_outercore_potential_integrals(
2     libgrecp_shell_t *shell_A, libgrecp_shell_t *shell_B,
3     double *ecp_origin, int num_oc_shells,
4     libgrecp_ecp_t **oc_potentials, libgrecp_shell_t **oc_shells,
5     double *arep, double *so_x, double *so_y, double *so_z
6 );
```

Fortran 90:

```
1 subroutine libgrecp_outercore_potential_integrals_shells(      &
2     origin_A, L_A, num_primitives_A, coeffs_A, alpha_A,          &
3     origin_B, L_B, num_primitives_B, coeffs_B, alpha_B,          &
4     ecp_origin, num_oc_shells, oc_shells_L, oc_shells_J,        &
5     ecp_num_primitives, ecp_powers, ecp_coeffs, ecp_alpha,       &
6     oc_shells_num_primitives, oc_shells_coeffs, oc_shells_alpha, &
7     arep_matrix, so_x_matrix, so_y_matrix, so_z_matrix           &
8 )
```

$$\hat{V}_{n_c l j} = (U_{n_c l j} - U_{l j}) \tilde{P}_{n_c l j} + \tilde{P}_{n_c l j} (U_{n_c l j} - U_{l j}) - \sum_{n'_c} \tilde{P}_{n_c l j} \left[\frac{U_{n_c l j} + U_{n'_c l j}}{2} - U_{l j} \right] \tilde{P}_{n'_c l j}$$

Дальнейшие планы

- ▶ дальнейшее тщательное тестирование
- ▶ встраивание библиотеки в DIRAC
 - соединения актинидов
 - кластерное моделирование
 - трансактиниды: E121, E122, E123
- ▶ оптимизация производительности
 - скрининг радиальных интегралов
 - более совершенные радиальные квадратуры
- ▶ Python-интерфейс
- ▶ публикация всех исходных кодов на GitHub

С Новым годом!

выражаю благодарность Н. С. Мосягину и А. В. Титову

буду рад ответить на Ваши вопросы